

направлении движения кубика при пробивании им металлической пластины [3]. Сходный вид течения (концентрация потока к середине ребер) должна реализовываться и при свободном обтекании прямоугольных тел газом или жидкостью.

## Список литературы

- [1] Дробышевский Э.М., Жуков Б.Г., Назаров Е.В., Розов С.И., Соколов В.М., Веселков Д.Е., Куракин Р.О., Савельев М.А., Юферев С.В. МГД разгон диэлектрических тел в репьетроне в режиме постоянного ускорения. Препринт ФТИ-1315, Л.: 1989. 23 с.
- [2] Vickery A.M. // J. Geophys. Res. 1986. V. 91. P. 14139-14160.
- [3] Dickinson D.L., Yatteau J.D., Recht R.F. // Int. J. Impact Engng. 1987. V. 5. P. 249-260.
- [4] Кондратенко М.М., Лебедев Е.Ф., Осташев В.Е., Сафонов В.И., Фортов В.Е., Ульянов А.В. // ТВТ. 1988. Т. 26. № 1. С. 159-164.

Физико-технический институт  
им. А.Ф. Иоффе АН СССР,  
Ленинград

Поступило в Редакцию  
13 марта 1990 г.

Письма в ЖТФ, том 16, вып. 12

26 июня 1990 г.

05.2

© 1990

## ИМПУЛЬСНОЕ ПЕРЕМАГНИЧИВАНИЕ ЭПИТАКСИАЛЬНЫХ ПЛЕНОК $(Y_{1-x}Pr_xBi)_3(Fe,Ga)_5O_{12}$ С РОМБИЧЕСКОЙ АНИЗОТРОПИЕЙ

М.В. Логунов, В.В. Рандошкин,  
Ю.Н. Сажин

Быстродействие магнитооптических устройств типа управляемых транспарантов (МОУТ) в основном определяется скоростью доменных стенок (ДС) в магнитооптическом материале [1, 2]. Обычно МОУТ создают на основе висмут-содержащих монокристаллических пленок феррит-гранатов (Вс-МПФГ). Наибольшее быстродействие МОУТ обеспечивается при использовании Вс-МПФГ с компенсацией момента импульса [3-9] или с ромбической магнитной анизотропией (РМА) [10-12].

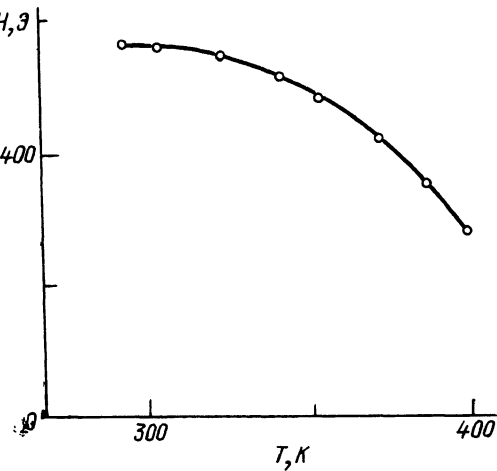


Рис. 1. Температурная зависимость порогового поля  $H_{\text{вр}}$  при  $H_{\text{см}} = 44 \text{ Э}$  и  $H_{\text{пл}} = 0$ .

В МОУТ с полностью магнитоизолированными ячейками их переключение начинается зарождением домена с обратной намагниченностью (ДОН) по механизму вращения векторов намагниченности [1, 13]. Механизмы импульсного перемагничивания Вс-МПФГ с невысокой скоростью ДС достаточно хорошо изучены [14-20]. Для Вс-МПФГ с высоким быстродействием такие сведения имеются только для пленок с компенсацией момента импульса [21].

В настоящей работе впервые изучена кривая импульсного перемагничивания (КИП) для Вс-МПФГ с РМА. Пленки состава  $(Y, Lu, Pr, Bi)_3(Fe, Ga)_5O_{12}$  выращивали методом жидкостной эпитаксии из переохлажденного раствора-расплава на подложках  $(Gd, Ca)_3(Mg, Zr, Ga)_5O_{12}$  с ориентацией (210). В работе приводятся данные для образца со следующими параметрами: толщина  $h = 17.7 \text{ мкм}$ , ширина полосовых доменов  $W = 20.4 \text{ мкм}$ , поле колапса цилиндрических магнитных доменов  $H_o = 38 \text{ Э}$ , поле одноосной магнитной анизотропии  $H_k = 3300 \text{ Э}$ .

Эксперименты проводили с помощью универсальной магнитооптической установки [22]. В процессе исследований в исходном состоянии образец намагничивали до насыщения постоянным полем смещения  $H_{\text{см}} \geq H_o$ , приложенным перпендикулярно плоскости пленки. Импульсное магнитное поле  $H_i$  прикладывали в противоположном направлении. Это поле создавали с помощью пары катушек диаметром 2.5 мм, между которыми помещали образец. К образцу также прикладывали постоянное магнитное поле  $H_{\text{пл}}$ , параллельное плоскости пленки (планарное поле).

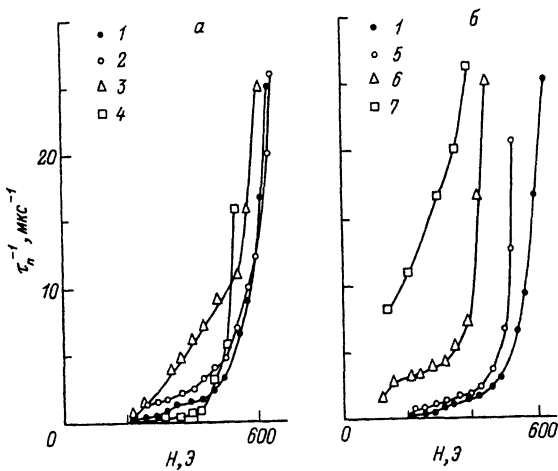


Рис. 2. КИП при  $T = 357$  К,  $H_{\text{см}} = 44$  Э для двух направлений пла-  
нарного магнитного поля (а, б) при разных  $H_{\text{пл}}$ , Э: 0 (1), 268 (2),  
670 (3), 1340 (4), -134 (5), -536 (6) и -670 (7).

На рис. 1 приведена температурная зависимость порогового магнитного поля  $H_{\text{вр}}$  ( $H_{\text{пл}} = 0$ ), при превышении которого импульсным магнитным полем образец перемагничивается по механизму вращения векторов намагниченности [19, 20]. Видно, что  $H_{\text{вр}}$  монотонно снижается с ростом температуры  $T$ . Заметим, что кривая  $H_{\text{вр}}(T)$  коррелирует с температурной зависимостью эффективного поля одноосной анизотропии  $H_{\text{кэ}} = H_{\text{к}} - 4\pi M_s$ , хотя значения  $H_{\text{кэ}}$  и  $H_{\text{вр}}$  различаются примерно в 5 раз, тогда как для одноосных Вс<sub>2</sub>МПФГ с ориентацией (111) указанные значения близки. Высокие значения  $H_{\text{кэ}}$  и  $H_{\text{вр}}$  при комнатной температуре затрудняют проведение экспериментов по импульльному перемагничиванию исследуемых Вс-МПФГ, поэтому детальное исследование КИП проводили при  $T = 357$  К.

Типичные КИП приведены на рис. 2. Поле  $H_{\text{пл}}$  прикладывали вдоль оси РМА. Видно, что при  $H_{\text{пл}} = 0$  основное отличие формы КИП от "идеальной" [14-16] состоит в присутствии небольшой "ступеньки" на участке, для которого  $\tau_n^{-1} \approx 2$  мкс<sup>-1</sup>. Появление этой ступеньки связано не с неоднородностью образца, как в [19, 20], а с изменением плотности центров зародышеобразования при перемагничивании.

С ростом  $H_{\text{пп}}$  для одного направления этого поля (рис. 2, а) КИП смещается влево (в сторону меньших значений  $H_{\text{пп}}$ ). Для противоположного направления планарного магнитного поля (рис. 2, б) КИП смещается в меньшей степени, причем с ростом  $H_{\text{пп}}$  это смещение является немонотонным. Заметим, что указанным направлениям соответствуют максимумы нормальной составляющей критического поля однородного зарождения доменной структуры [23], причем эти составляющие имеют противоположный знак.

При фиксированном значении действующего магнитного поля  $H = H_{\text{пп}} - H_{\text{см}}$  увеличение плотности центров зародышеобразования с ростом  $H_{\text{пп}}$  наблюдается лишь до его значения  $H_{\text{пп}} = 670 \text{ Э}$ . При дальнейшем повышении  $H_{\text{пп}}$  плотность этих центров резко падает, а при  $H_{\text{пп}} > 1340 \text{ Э}$  зарождение ДОН не наблюдается.

На рис. 2, а, б видно, что после превышения значения  $H_{\text{бр}}$  время перемагничивания  $\tau_p$  резко снижается с ростом  $H$ . В частности, при  $H_{\text{пп}} = 0$  оно уменьшается с  $\sim 300 \text{ нс}$  до  $\sim 40 \text{ нс}$  при увеличении  $H$  с 500 до 600 Э. Заметим, что в МОУТ, конструкция которого описана в [13], время перемагничивания определяет минимальную длительность управляющего импульса тока, обеспечивающего зарождение ДОН в ячейке.

#### С п и с о к л и т е р а т у р ы

- [1] Рандошкин В.В., Червоненкис А.Я. Прикладная магнитооптика. М.: Энергоатомиздат, 1990.
- [2] Рандошкин В.В., Рыбак В.И., Сигачев В.Б., Чани В.И., Червоненкис А.Я.// Микроэлектроника. 1986. Т. 15. В. 1. С. 16–24.
- [3] Заболотная Н.В., Осикио В.В., Рандошкин В.В., Сигачев В.Б., Тимошечкин М.И. // Письма в ЖТФ. 1984. Т. 10. В. 13. С. 788–792.
- [4] Рандошкин В.В., Сигачев В.Б. // Письма в ЖЭТФ. 1985. Т. 42. В. 1. С. 34–37.
- [5] Рандошкин В.В., Сигачев В.Б. // ФТТ. 1987. Т. 29. В. 9. С. 2658–2665.
- [6] Рандошкин В.В., Сигачев В.Б. // ЖТФ. 1988. Т. 58. В. 12. С. 2350–2354.
- [7] Логинов Н.А., Логунов М.В., Рандошкин В.В. // ФТТ. 1989. Т. 31. В. 10. С. 58–63.
- [8] Randooshkin V. V. // Proc. SPIE. 1989. V. 1126. paper 21.
- [9] Рандошкин В.В., Сигачев В.Б. // ФТТ. 1990. Т. 32. В. 1. С. 246–253.
- [10] Васильева Н.В., Клин В.П., Кузнецов И.А., Нам Б.П., Рандошкин В.В., Сигачев В.Б., Чани В.И., Червоненкис А.Я. Новые магнитные материалы микроэлектроники: Тез. Всесоюзн. школы–семинара, Ташкент, 1988. С. 300–301.

- [11] Рандошкин В.В., Чани В.И., Логунов М.В., Сажин Ю.Н., Клин В.П., Нам Б.П., Соловьев А.Г., Червоненкис А.Я. // Письма в ЖТФ. 1989. Т. 15. В. 14. С. 42-44.
- [12] Клин В.П., Логунов М.В., Нам Б.П., Рандошкин В.В., Сажин Ю.Н., Соловьев А.Г., Чани В.И., Червоненкис А.Я. // Письма в ЖТФ. 1989. Т. 15. В. 14. С. 79-84.
- [13] Fedely J.M., Delage M.T., Jouven H., Risseila J. // IEEE Trans. Magn. 1984. V. MAG-20. N 5. P. 1019-1021.
- [14] Копотов О.С., Куделькин Н.Н., Погожев В.А., Телесинин Р.В. // ЖТФ. 1985. Т. 55. В. 4. С. 761-764.
- [15] Логунов М.В., Рандошкин В.В. // ЖТФ. 1985. Т. 55. В. 6. С. 1199-1201.
- [16] Логунов М.В., Рандошкин В.В. // ЖТФ. 1985. Т. 55. В. 10. С. 1987-1991.
- [17] Куделькин Н.Н., Прохоров А.М., Рандошкин В.В., Сигачев В.Б., Тимошечкин М.И. // Доклады АН СССР. 1985. Т. 281. В. 4. С. 848-851.
- [18] Логунов М.В., Рандошкин В.В., Сигачев В.Б. // ФТТ. 1987. Т. 29. В. 8. С. 2247-2254.
- [19] Дудоров В.Н., Логунов М.В., Рандошкин В.В. // ФТТ. 1986. Т. 28. В. 5. С. 1549-1552.
- [20] Логунов М.В., Рандошкин В.В. // ФТТ. 1986. Т. 28. В. 5. С. 1559-1562.
- [21] Логинов Н.А., Логунов М.В., Рандошкин В.В. // Письма в ЖТФ. 1988. Т. 14. В. 14. С. 1315-1318.
- [22] Логунов В.В., Рандошкин В.В., Сигачев В.Б. // ПГЭ. 1985. № 5. С. 247-248.

Институт общей физики АН СССР,  
Москва

Поступило в Редакцию  
28 февраля 1990 г.